

7. Anhang

7.1. Weitere Alignments

Erklärungen zu den folgenden Alignments:

Die AS sind nach ihren physikalischen Eigenschaften eingefärbt (basische AS (H, K, R) dunkelblau; saure AS (D, E) rot; hydrophobe AS (F, I, L, M, V, W) grün, wobei kleine hydrophobe AS (A, G) in dunklerem grün gehalten sind; polare AS (N, Q, S, T) violett; AS mit besonderen Eigenschaften sind P (schwarz); Y (hellblau) und C (orange).

Alle Sequenzen sind an ZO-1 von Maus und der entsprechenden AS-Nr. (AS-ZO-1m) ausgerichtet. Die β -Stränge A-F in 1KJW sind in Klammern an den entsprechenden Positionen gekennzeichnet.

Auf Seite 149-150 findet sich ein erweitertes Alignment von Abb. 3.7. Zusätzlich zu der für die Homologiemodelle genutzten SH3-Hinge-GUK-Struktur von PSD95 (1KJW) und der ZO-1-Sequenz sind hier zum Vergleich noch eine weitere SH3-Struktur (1AEY von α -Spektrin) sowie andere bekannte GUK-Kristallstrukturen (Siehe dazu Abb. 3.4) enthalten. Aufeinanderfolgende Abschnitte sind mit einer dicken roten Linie getrennt.

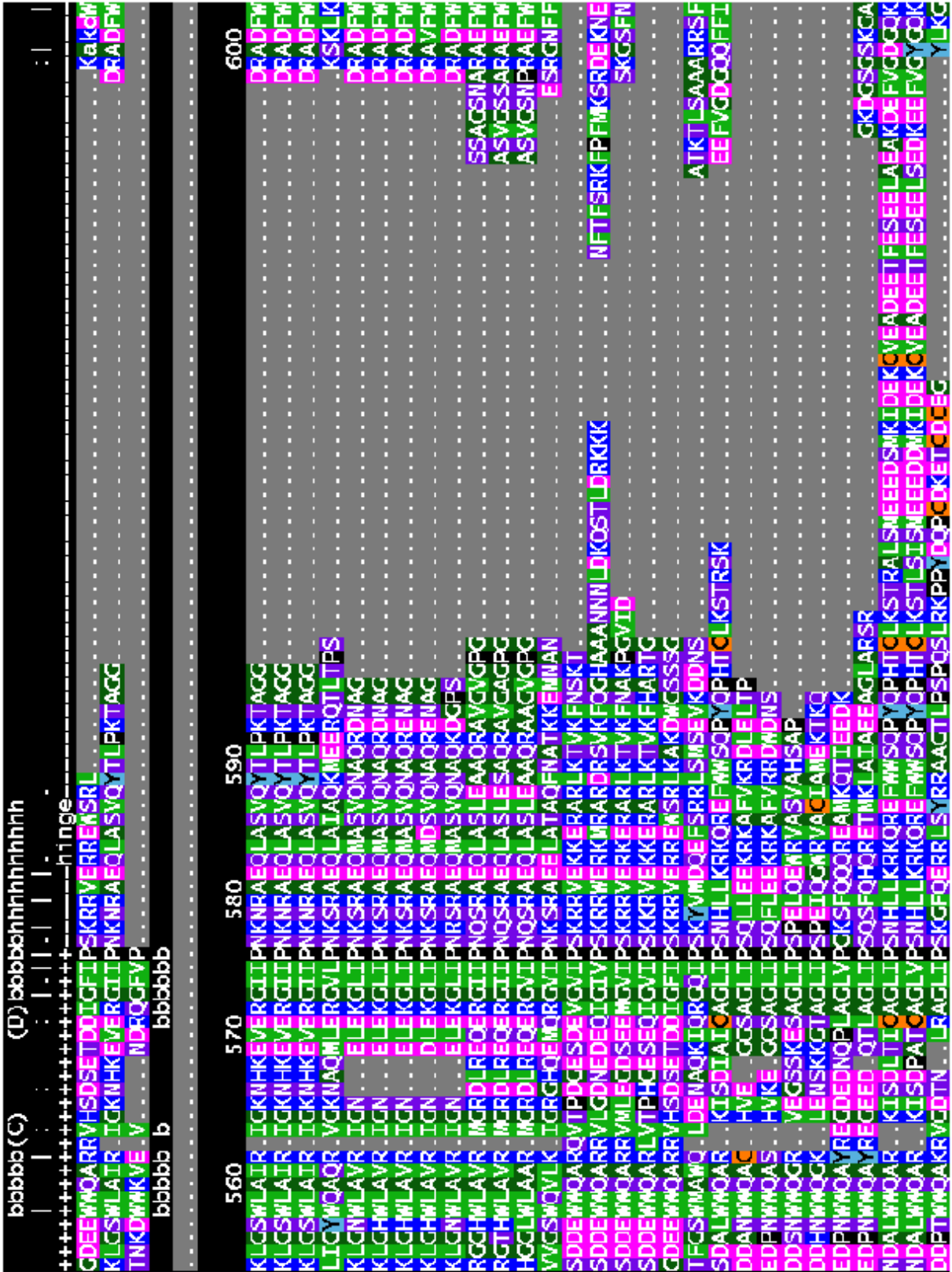
Angegeben ist für jede PDB-Nummer erst die in der PDB-Struktur vorliegende Sekundärstruktur (SS) als Helix (H) oder β -Strang (B). In der jeweils nächsten Zeile befindet sich der Proteinname in Kurzform (genauer in Abb. 3.4) und die zur Strukturaufklärung genutzte Proteinsequenz (davon in großen Buchstaben die Bereiche, die in den Kristallstrukturen sichtbar waren. Mit „mm“ in GUK von hCASK sind zwei AS bezeichnet, die wahrscheinlich als Klonierungsartefakt von der Swissprotsequenz abweichen (statt HM müssten sich dort die Aminosäuren FK befinden). Mit „\$“ sind für die GMP-Bindung in den GUK-Domänen essentielle Arginine gekennzeichnet. M.Tuberc. = *Mycobacterium tuberculosis*.

Auf den Seiten 151-155 sind oben erneut die Sequenzen von 1KJW, ZO-1, 1AEY und 1EX7 mit Angabe der Sekundärstrukturen (SS; h= Helix; b= β -Strang) angeordnet. Statt durch Graustufen wie in Abb. 3.7 sind die unterschiedlichen Grade an Konservierung der AS zwischen 1KJW und ZO-1 mit „|“ für völlige Übereinstimmung und „.“ bzw. „.“ für größere bzw. kleinere Sequenzähnlichkeit markiert. Die Domänen sind mit „+“ für SH3, „-“ für Hinge, „=“ für GUK sowie „*“ für die GMP-Bindungsregion von GUK bezeichnet.

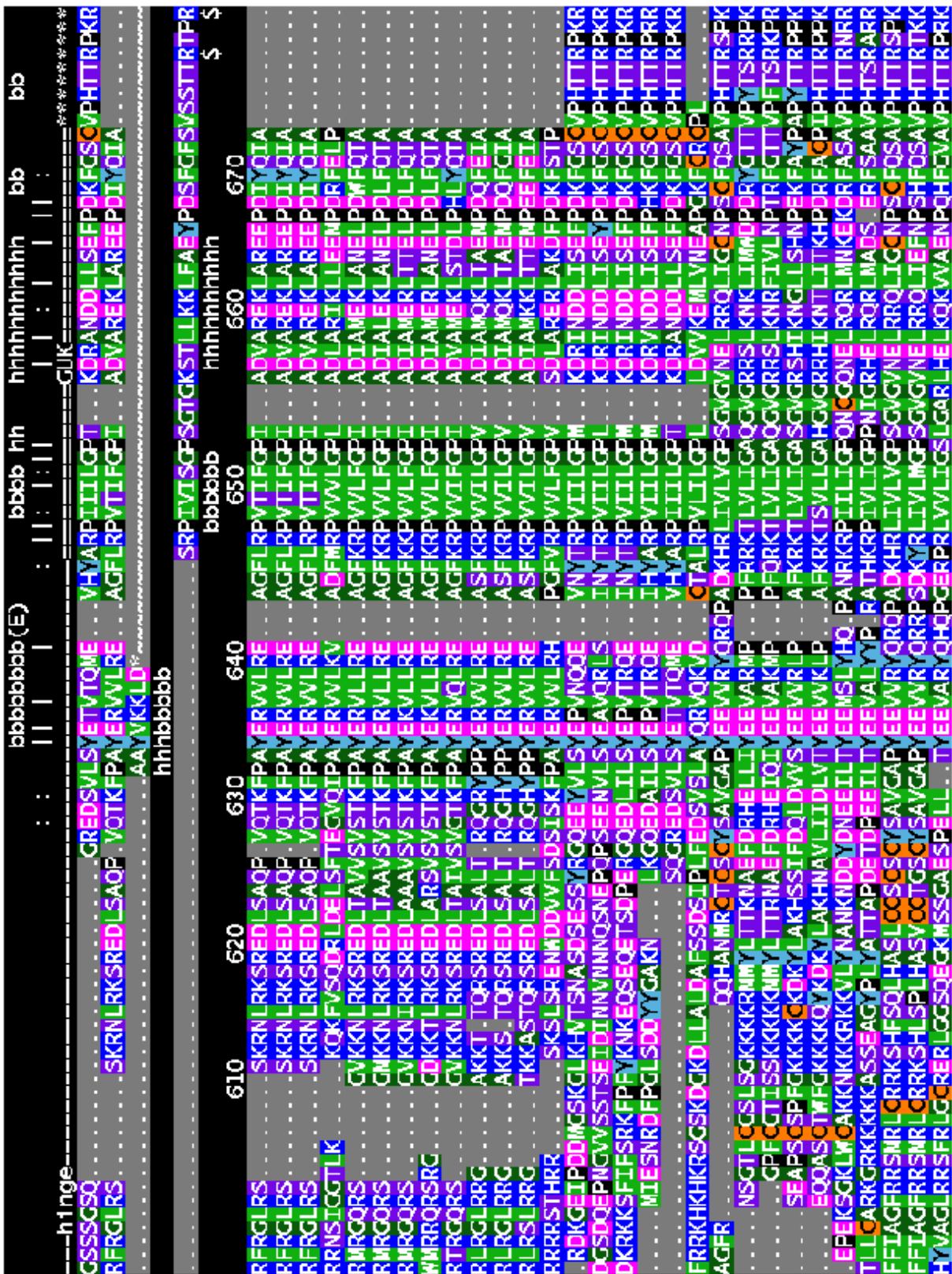
Anschließend folgen, beginnend mit Maus-ZO-1, 28 ausgewählte MAGUK-Proteine aus verschiedenen Spezies (Drome = *Drosophila melanogaster*) mit ihren SH3-Hinge-GUK-Bereichen.

IKJW-SS B BB \$ \$ BB HHHHHHHHHH BBBB BBBB HHHHHHHH BBB HHHHHHHH BBBB
 PSD95 GSCV_PHTTRPKREYEIDCRDYHFVSSREKMEKDIQAHKFEACQYNSHLYGTSQSVREVAEQGK_HCILVDSANAVRRLLQAAH_LHPAIAFIR_P
 ZO-1-Maus TYQIAKSELRDAGTDRSSGIIR_LHTIKIIDDQK_HALLOVTPNAVDRLLNYAQ_WYPIVWFLN_P
 AS-ZO-1m 670 680 690 700 710 720 73 0
 IT3L-SS HH BBBB HHH HHHHHHHHHH HHHHHHHHHH BBBB HHHHHHHH BBBB H
 GUK-Ca-Kanal HRFE_CRISITRVADISLAKRSVLMNPSKHAIIERSNTRS_SLAEVQSEIERIFELARTLQ_LWLDADTINHPAQLSKTSLAPIVWYKISSP
 IKGD-SS BB \$ \$ HHHHHHHHHH BBBB BBBB HHHHHHHH BBBB HHHHHHHH BBBB
 GUK-hCA SK AYP_I_PHTTRPPKRD EENGKNYFV_SHDQIMQDISNNEYLYGSHEDAMYGTKLETIRKHEQGL_IAILDVEPQALKVLRTA_EFAPFVVFIAAPTI
 IEX7-SS BB \$ \$ HHHHHHHH BBBB HHHHHHHHHH BBBB HHHHHHHH BBBB
 GUK-Hefe GFSV_SSTIRTPRAGEVNGCOYFV_SVDEFKSMKNNEFIEWAQFSGNYGTVASVKQVSKSGK_TCILIDMNGQVSKVAIPELNARFLFIA_P
 ILVG-SS BB \$ \$ HHHHHHHH BBBB HHHHHHHHHH BBBB HHHHHH BBBB HHHHHH BBBB
 GUK-Maus GFSV_SHTTRMPRGEEDQCOYFV_TREMQRDIAACDFIEHAEFSGNLYGTSKEAVRAVQAMNR_ICVLVDLQGVRSIKCT_DLCPYIFVQ_P
 IS4Q-SS BB \$ \$ HHHHHHHH BBBB HHHHHHHHHH BBBB HHHHHHHH BBBB HHHHHHHH BBBB
 GUK-M.Tuberc. FSVS...ATTRAPRGEVDGVYHFI_DPTRFQQLIDQELLEWAEIHGGLHRSGLAQPVRAAAATQVPVLEVDLAGARAIKCT_MPEAVTVFLA_P
 IS96-SS BB \$ \$ HHHHHHHH BBBB HHHHHHHHHH BBBB HHHHHHHH BBBB
 GUK-E.coñ TQVSVSHTTRQPRRGEVHGEHYFFV_MHDEFKEMISRDAFLEHAEVFGNYGTSREAIQVLTGV_DVFLIDMNGCAQIQIRQK_MPHARSIFIL_P

IKJW-SS HHHHHHHH HHHHHHHHHHHHHHHHH HHH BBB HHH HHHHHHHHHHHH BBBB (F)
 PSD95 RSLNVLEINKRI...TEEQARKAFDRATKLEQEFTE_CFSALVEGDSFEE_IYHKVKRVIEDLSQYIMVPAKERL
 ZO-1-Maus DSKQGVKTRMRRLCPESRKSARKLYERSHKLRKNMHH_LFTTTINLNSMNDGWYCALKEAIQQQQNLVMVSEKADGATSDD
 AS-ZO-1m 740 750 760 770 780 790 800 810
 IT3L-SS HHHHHHH HHHH HHHHHHHHHHHH BBB HHH HHHHHHHHHHHHHHHH
 GUK-Ca-Kanal KVLQRLIKSRGKSAKHLNVQMVAAKLAQC...PPELFDVILDENQLED_ACEHLADYLEAYMKATHPPSSnIprnpI
 IKGD-SS HHHHHHHHHHHHHHHHH HHH H BBB HHH HHHHHHHHHHHH
 GUK-hCA SK TP...GLNEDESLQRLQKESDILQRTYAH_YFDLTIINNEIDE_TIRHLEEAVELVctapqwpvswwy
 IEX7-SS HHHHHHHHHH HHHHHHHHHHHHHHHH BBBB HHH HHHHHHHHHH
 GUK-Hefe PSVEDLKKRLEGRCGTETEESINKRLSAAQELAYAETGA_HDKVIVNDLQK_AYKELKDFIFAEK
 ILVG-SS HHHHHHHHHH HHHHHHHHHHHHHHHH BBBB HH HHHHHHHH HHHHHH
 GUK-Maus PSDLVLEQRLRLRNTETEESLAKRLAARTDMESKPEGLFDLVIINDLQK_AYATLQKALSEEIKKAQGTgha
 IS4Q-SS HHHHHHHH HHHHHHHHHHHHHHHH BBBB HHH HHHHHHHH
 GUK-M.Tuberc. PSWQDLQARLIGRCGTETADVQRRLDTARIELAAQG...DFDKVWVRRLES_ACAELVSLVGTapgsP
 IS96-SS HHHHHHHH HHHHHHHHHHHHHHHH BBBB HHH HHHHHHHHHHHH HHHHHH HHHHHHHH
 GUK-E.coñ PSKIELDRRLRCRCQDSEEVIAKRWQAQVAEMSHYA...EVDYLIYVNDDFDT_ALTDLKIIRAERLMSRQKQRHDAIISKLLAD



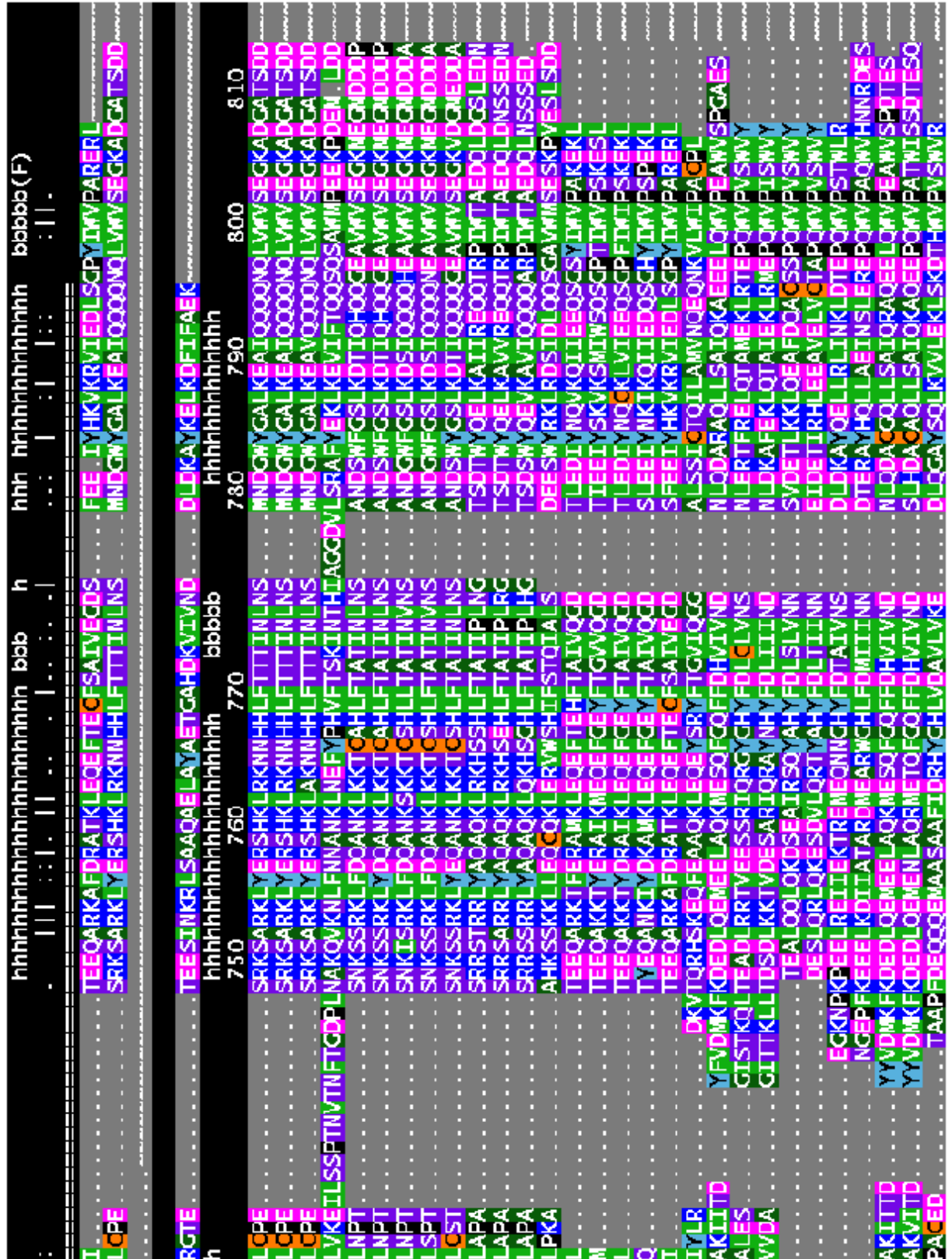
- IKJW-SS
- Pam250
- Domänen
- IKJW
- ZO-1-Maus
- IAEY (SH3)
- IAEY-SS
- GUK-Hefe
- IEX7-SS
- AS-ZO-1m
- ZO-1-Maus
- ZO-1-Hund
- ZO-1-Mensch
- ZO-1-Hydra
- ZO-2-Mensch
- ZO-2-Ratte
- ZO-2-Maus
- ZO-2-Huhn
- ZO-3-Mensch
- ZO-3-Hund
- ZO-3-Maus
- Tama-Drome
- DLG1-Mensch
- DLG1-Drome
- DLG2-Mensch
- DLG3-Mensch
- DLG4-Ratte
- DLG5-Mensch
- DLG6-Ratte
- MPP2-Mensch
- MPP6-Mensch
- EM55-Maus
- CASK-Maus
- Pals-Maus
- Startust-Drome
- DLG6-Maus
- MPP4-Mensch
- MPP3-Mensch



- IKJW-SS
- Pam250
- Domänen
- IKJW
- ZO-1-Maus
- LAEY (SH3)
- LAEY-SS
- GUK-Hefe
- IEX7-SS
- A\$ZO-1m
- ZO-1-Maus
- ZO-1-Hund
- ZO-1-Mensch
- ZO-1-Hydra
- ZO-2-Mensch
- ZO-2-Ratte
- ZO-2-Maus
- ZO-2-Huhn
- ZO-3-Mensch
- ZO-3-Hund
- ZO-3-Maus
- Tama-Drome
- DLG1-Mensch
- DLG1-Drome
- DLG2-Mensch
- DLG3-Mensch
- DLG4-Ratte
- DLG5-Mensch
- DLG6-Ratte
- MPP2-Mensch
- MPP6-Mensch
- EM55-Maus
- CASK-Maus
- Pak1-Maus
- Stardust-Drome
- DLG6-Maus
- MPP4-Mensch
- MPP3-Mensch

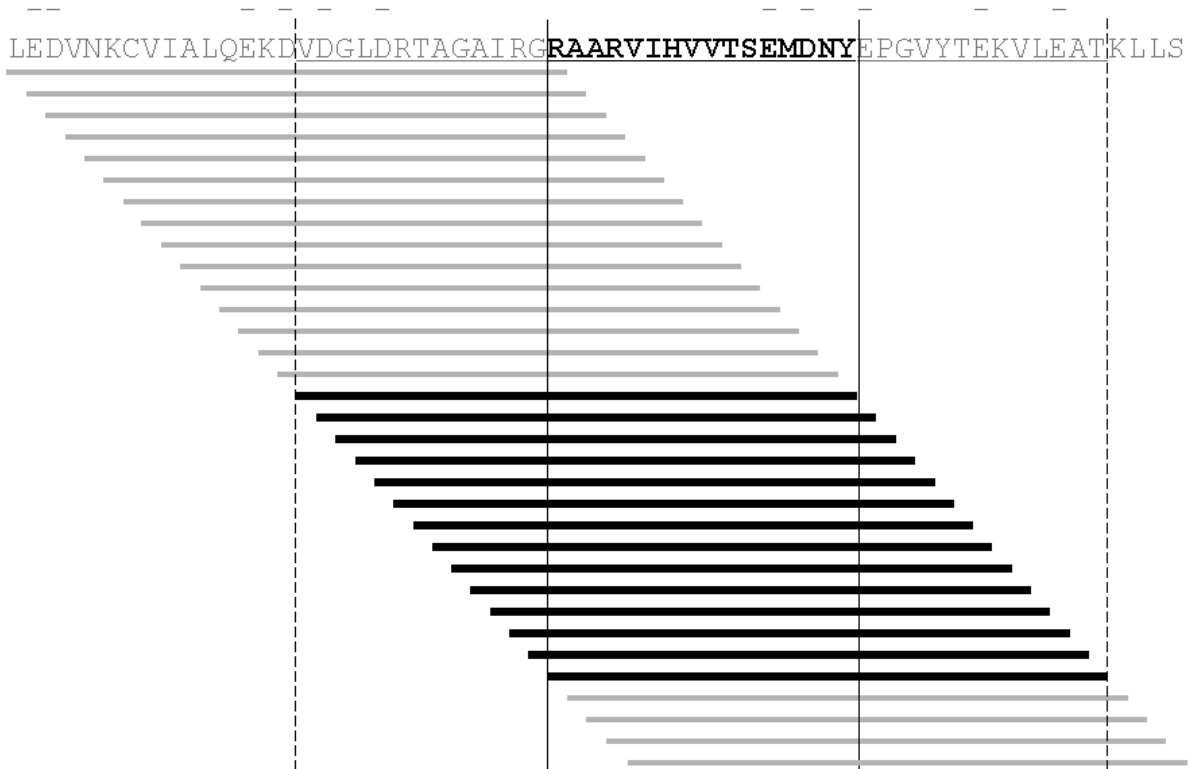


- IKJW-SS
- Pam250
- Do mänen
- IKJW
- ZO-1-Maus
- LAEY (SH3)
- LAEY-SS
- GUK-Hefe
- IEX7-SS
- AS-ZO-1m
- ZO-1-Maus
- ZO-1-Hund
- ZO-1-Mensch
- ZO-1-Hydra
- ZO-2-Mensch
- ZO-2-Ratte
- ZO-2-Maus
- ZO-2-Huhn
- ZO-3-Mensch
- ZO-3-Hund
- ZO-3-Maus
- Tama-Drome
- DLG1-Mensch
- DLG1-Drome
- DLG2-Mensch
- DLG3-Mensch
- DLG4-Rarte
- DLG5-Mensch
- DLG6-Rarte
- MPP2-Mensch
- MPP6-Mensch
- EM55-Maus
- CASK-Maus
- Pals1-Maus
- Startust-Drome
- DLG6-Maus
- MPP4-Mensch
- MPP3-Mensch



- IKJW-SS
- Pam250
- Do mänen
- IKJW
- ZO-1-Maus
- IAEY (SH3)
- IAEY-SS
- GUK-Hefe
- IEX7-SS
- AS-ZO-1m
- ZO-1-Maus
- ZO-1-Hund
- ZO-1-Mensch
- ZO-1-Hydra
- ZO-2-Mensch
- ZO-2-Ratte
- ZO-2-Maus
- ZO-2-Huhn
- ZO-3-Mensch
- ZO-3-Hund
- ZO-3-Maus
- Tama-Drome
- DLG1-Mensch
- DLG1-Drome
- DLG2-Mensch
- DLG3-Mensch
- DLG4-Ratte
- DLG5-Mensch
- DLG6-Ratte
- MPP2-Mensch
- MPP6-Mensch
- EM55-Maus
- CASK-Maus
- Pak1-Maus
- Stardust-Drome
- DLG6-Maus
- MPP4-Mensch
- MPP3-Mensch

7.2. Schema zum Verständnis der Peptidmappingexperimente



Angegeben ist als Beispiel die Maus- α -Catenin-Sequenz von AS 520-580, aber dasselbe Prinzip gilt auch für die Occludin oder ZO-1-Peptidmembranen. Es wurden jeweils Peptide mit einer Länge von 29 AS auf den Membranen synthetisiert und die Sequenz bei benachbarten Peptidpunkten um je 1 AS C-terminal verschoben (symbolisiert durch die Linien). Einige der Peptidpunkte weisen eine Bindung auf (fette Linien, hier an CC1). Sie umfassen als Gesamtsequenz den Bereich α -Catenin₅₃₅₋₅₇₆ (unterstrichen und Enden markiert mit unterbrochenen Linien). Diese äußeren Grenzen der bindenden Peptidsequenzen sind in den Abb. 3.23, 3.24 und 3.25 (dort sind die synthetisierten Peptide auf den Membranen nur 20 AS lang) angegeben.

Die Interaktion könnte durch eine Bindung an den allen Peptiden gemeinsamen Sequenzbereich α -Catenin₅₄₈₋₅₆₃ erklärt werden (fett und mit durchgehenden Linien markiert). Bei α -Catenin sind jedoch teilweise so große Bindungsbereiche zu beobachten, dass die beteiligten Peptidpunkte gar keine Sequenz mehr gemeinsam haben (Abb. 3.24). Hier muss es Wechselwirkungsmotive geben, die sich beim Verschieben des Sequenzrahmens wiederholen. Dies könnte auch im gezeigten Beispiel der Fall sein, da wir als Teil des Interaktionsmechanismus ionische Wechselwirkungen zwischen positiven (basischen) farbstoffmarkierten ZO-1-Peptiden und negativen (sauren) membrangebundenen Sequenzen (in Abb. mit „-“ gekennzeichnet) von Occludin und α -Catenin annehmen. Alle bindenden Peptide im Beispiel haben die sauren AS E559 und D561 gemeinsam, in den N-terminalen Peptiden liegen zusätzlich noch D536 und D539, während die C-terminalen Peptide E564, E570 und E574 enthalten.

7.3. Abstract

The exact sites, structures and molecular mechanisms of interaction between junction organizing zona occludence protein 1 (ZO-1) and the tight junction protein occludin or the adherens junction protein α -catenin are unknown. Binding studies by surface plasmon resonance spectroscopy and peptide mapping combined with comparative homology modeling utilizing crystal structures led for the first time to a molecular model revealing the binding of both occludin and α -catenin to the same binding site in ZO-1. Our data support a concept that ZO-1 successively associates with α -catenin at the adherens junction and occludin at the tight junction.

Strong spatial evidence indicates that the occludin C-terminal coiled-coil domain dimerizes and interacts as a four-helix bundle with the identified structural motifs in ZO-1. The dimerisation of occludin was supported by biophysical experiments (size exclusion chromatography, light scattering), while surface plasmon resonance spectroscopy found an oligomerisation of ZO-1. In the interacting regions of α -catenin and ZO-1 CC-helices were also predicted. α -Catenin likewise consists of several four-helix bundles according to crystal structures and homology models. In peptidemapping experiments occludin₄₀₆₋₅₂₁ and α -catenin₅₀₉₋₉₀₆ interacts with the hinge region (ZO-1₅₉₁₋₆₃₂, ₅₉₁₋₆₂₂ respectively) and with (ZO-1₇₂₆₋₇₅₄, ₇₅₆₋₇₈₁) in the GUK domain of ZO-1 containing coiled-coil and α -helical structures respectively. The selectivity of both protein-protein interactions is defined by complementary shapes and charges between the participating epitopes. In conclusion, a common molecular mechanism of forming an intermolecular helical bundle between the hinge region/GUK domain of ZO-1 and α -catenin and occludin is identified as a general molecular principle organizing the association of ZO-1 at adherens and tight junctions.

Lebenslauf

Zur Person	Name: Sebastian Ludwig Müller Anschrift: Ruhlsdorfer Str. 89c 14532 Stahnsdorf geboren am: 18.11.1974 in Haldensleben Familienstand: ledig, keine Kinder
Schulbildung	09/1981 - 08/1989 Polytechnische Oberschule " Karl Liebknecht" in Haldensleben 09/1989 - 07/1993 Gymnasium Kleinmachnow (früher Erweiterte Spezialoberschule Kleinmachnow) mit erweiterter mathematisch-naturwissenschaftlich- technischer Richtung Abitur mit 1,1
Ersatzdienst	08/1994 - 10/1995 Altenpflegeheim Bethesda in Teltow
Studium	10/1993 - 07/2000 Universität Potsdam, Abschluss als Diplombiochemiker (Note 1,6) Thema der Diplomarbeit: Untersuchungen zur Regulation von Radikalabwehrenzymen in Gehirnkapillarendothelzellen unter oxidativem Streß
Berufspraxis	08/2000 - 12/2000 Stipendiat im Graduiertenkolleg GRK 238 Schadensmechanismen im Nervensystem - Einsatz von bildgebenden Verfahren 01/2001 - 12/2004 wissenschaftlicher Mitarbeiter Forschungsinstitut für molekulare Pharmakologie (FMP) Berlin Thema: Untersuchungen zum Bindungsmechanismus von Occludin und α -Catenin an ZO-1

Publikationen

Schroeter ML, Mertsch K, Giese H, Müller S, Sporbert A, Hickel B, Blasig IE. (1999). Astrocytes enhance radical defence in capillary endothelial cells constituting the blood-brain barrier. *FEBS Lett.* **449**, 241-4.

Csonka C, Pataki T, Kovacs P, Müller SL, Schroeter ML, Tosaki A, Blasig IE. (2000). Effects of oxidative stress on the expression of antioxidative defense enzymes in spontaneously hypertensive rat hearts. *Free Radic Biol Med.* **29**, 612-9.

Schroeter ML, Müller S, Lindenau J, Wiesner B, Hanisch UK, Wolf G, Blasig IE. (2001). Astrocytes induce manganese superoxide dismutase in brain capillary endothelial cells. *Neuroreport.* **12**, 2513-7.

Schmidt A, Utepbergenov DI, Mueller SL, Beyermann M, Schneider-Mergener J, Krause G, Blasig IE. (2004). Occludin binds to the SH3-hinge-GuK unit of zonula occludens protein 1: potential mechanism of tight junction regulation. *Cell Mol Life Sci.* **61**, 1354-65.

Müller SL, Portwich M, Schmidt A, Utepbergenov DI, Huber O, Blasig IE, Krause G. (2005). The tight junction protein occludin and the adherens junction protein alpha-catenin share a common interaction mechanism with ZO-1. *J Biol Chem.* **280**, 3747-56.

Blasig IE, Winkler L, Lassowski B, Mueller SL, Zuleger N, Krause E, Krause G, Gast K, Kolbe M, Piontek J. (2005). The dimerisation concept of transmembrane tight junction proteins
submitted

Vorträge

Treffen von über Radikale arbeitenden Forschergruppen aus Norddeutschland in Berlin (23.1.01):

Einfluß von Cytokinen und Hypoxie auf antioxidativ wirkende Enzyme der Blut-Hirn-Schranke.

Graduiertenkolleg GRK 238 Symposium „Next Neuroscience generation: Relevance of cell death in development and disease of the brain.“ in Berlin (24./25.02.03):

Interactions between the Blood-Brain Barrier (BBB) Proteins Occludin and ZO-1

44.Frühjahrstagung der Pharmakologen in Mainz (März 2003)

Entwicklung eines Modells für die Interaktion zwischen den tight-junction Proteinen ZO-1 und Occludin

Abschlussveranstaltung des Graduiertenkollegs GRK 238 in Berlin (Nov. 2004):

Interactions between tight and adherens junction proteins - Structure-Function-Relationship of proteins in the blood-brain barrier

Poster

6th Int. Conference *Cerebral vascular biology* (2001):

Haseloff RE, Schmidt A, Müller SL, Blasig IE.

Protein expression in brain endothelial cells: astrocyte influence and effects of hypoxia

7. Intern. Dahlem Symposium für Signaltransduktion in Berlin (27-29.09.01):

Coiled coil structural motifs are causing the interaction of the tight junction proteins occludin and ZO-1

8. PhD-Symposium von MDC/FMP (1.7.02):

Homology modelling of the interaction of the tight junction proteins occludin and ZO-1 supported by SPR-Binding Studies.

6th Symposium on Signal Transduction in the Blood-Brain Barriers Szeged, Ungarn (18-21.9. 2003):

The tight junction protein occludin and the adherens junction protein alpha-catenin are both interacting with ZO-1 via a helix-helix interaction mechanism.

Selbständigkeitserklärung

Hiermit erkläre ich, dass ich die vorliegende Arbeit selbständig und nur unter Verwendung der angegebenen Literatur und Hilfsmittel verfasst habe.

Diese Arbeit wurde bisher noch an keiner Universität vorgelegt.

Ich erkläre, dass ich mich bisher nicht an einer anderen Einrichtung um einen Doktorgrad beworben habe und keine derartigen Titel besitze.

Berlin, August 2005

Sebastian Ludwig Müller